

サーマル理論に基づく火碎流の数値解析法 — 雲仙・普賢岳を例として —

NUMERICAL SIMULATION OF PYROCLASTIC FLOW BASED ON THE THERMAL THEORY
- THE CASE OF MT. FUGEN, UNZEN VOLCANO -

福嶋祐介*、鍵山恒臣**
By Yusuke FUKUSHIMA and Tsuneomi KAGIYAMA

Large scale pyroclastic flow occurred at Mt. Fugen, Unzen volcano, on June 1991. The pyroclastic materials are suspended in air, so that the pyroclastic flow runs fast with relatively low resistance on the slope. In this paper, the fluid dynamical model of the pyroclastic flow is presented. The model is based on the thermal theory on the inclined wall, in which the effect of the air temperature is taken into account. The model can predict variations of the height, the speed of pyroclastic flow and the concentration of pyrocalstic materials.

Keywords: pyroclastic flow, simulation, natural disaster.

1. 序論

1991年6月雲仙・普賢岳において、大規模な火碎流が発生し、多くの犠牲者を出した。火碎流は火山の噴火によって火山灰・火砕れきなどの火碎物が空気中に巻き上げられ、その火碎物が重力のために斜面方向に流下するものである。斜面方向に流れだした火碎流はその平均流の為、新たな乱れを作りだし、この乱れによって空気中に火碎物を浮遊・維持させる。このように一旦流れだした火碎流は火碎物が斜面上に沈降するまでその流動を続けるので、火口からかなりの距離まで到達することが多い（高橋、1985）。

本論文では、火碎流に特有の現象を考慮して火碎流の予測モデルを提案する。この理論を雲仙・普賢岳で発生した火碎流に適用し、その妥当性を検討する。

2. 火碎流の基礎方程式

火碎流を図1のような一次元モデルで近似する。火碎流の形状が横方向に一定の形を保ち、さらにその形状が斜面の角度の一義的な関数となることを仮定する。火碎流では、火碎物の密度が空気の密度に比べて圧倒的に大きいので、非ブーシネスク流体として解析を行う。火碎流中の空気の連続式、火碎物の質量保存式、温度の変化式、運動量保存式、乱れエネルギー保存式、火碎流の位置に関する方程式は次のようになる（福嶋、1986）。

$$dA/dt = E_a UP_1 \quad (1)$$

$$dCA/dt = v_s (E_a - c_b \cos \theta) P_b \quad (2)$$

$$dT/dt = T_a E_a UP_1 \quad (3)$$

$$d(\rho + kv\rho_a)UA/dt = (\rho - \rho_a)gAsin\theta - (\tau_a P_1 + \tau_b P_b) \quad (4)$$

* 正会員 工博 長岡技術科学大学助教授

工学部建設系 (〒940-21 新潟県長岡市
上富岡町1603-1)

**理博 東京大学講師 地震研究所霧島火
山観測所 (〒889-43 宮崎県えびの市大
字末永1489)

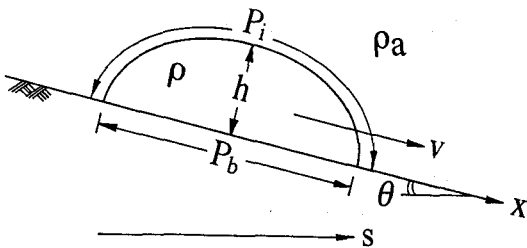


図1 火災流の模式図と記号の説明

$$d(\rho + kv \rho_a) / dt = (\tau_a P_t + \tau_b P_b) U + (1/2) \{ \rho_a (1+k_v) E_a U P_t + (\rho - \rho_a) R v_a (E_a - C_b \cos \theta) P_b U - (\rho - \rho_a) g v_a A - \beta \rho K^{3/2} A / h - \xi_r (\rho - \rho_a) g \cos \theta h - \{ (1/2) C E_a U P_t + v_a (E_a - C_b \cos \theta) P_b \} \} \quad (5)$$

$$ds/dt = U \cos \theta \quad (6)$$

ここで、Aは横から見た火碎流の断面積、hは火碎流の層厚あるいは高さ、P_bは底面の長さ、P_tは空気との境界面の長さである。また、tは時間、Uは火碎流の移動速度、Cは雪の平均 体積濃度、Tは火碎流中の温度、Taは周囲の空気の温度、Kは乱れのレベルである。ρは火碎流の平均密度、ρ_aは火碎物の密度である。ここで、ρ_aは、底面付近の火碎物の密度であり、C_bは底面付近の火碎物の濃度である。R=(ρ_a-ρ)/ρ_aは空気中の火碎物の比重であり、火碎流中の平均密度が空気の温度の関数であることから、Rもまた温度の関数である。βは火碎流内での粘性逸散に関する無次元係数、kvは付加質量係数である。

式(1)から式(6)を解くためにはさらにいくつかの仮定を設ける必要がある。せん断応力τ_a、τ_bは次のように表される。

$$\tau_a = \rho_a \alpha K \quad (7) \quad \tau_b = \rho_b \alpha K \quad (8)$$

ここで、αは無次元係数である。密度ρ、ρ_bと火碎物中の平均濃度C、底面付近の濃度C_bの関係は次のように表される。

$$\rho = \rho_a (1 + RC) \quad (9) \quad \rho_b = \rho_a (1 + RC_b) \quad (10)$$

ここで、ρ_aは火碎流中の空気の密度であり、次のように空気の温度の関数で与えられるものとする。

$$\rho_a = 0.001293 / (1 + 0.00367 * T) \quad (11)$$

ここで、温度Tは摂氏(℃)である。E_a、E_bは、それぞれ、空気および火碎物を火碎流に取り込む

運行係数であり、次のような関数で表す(Beghin et.al, 1981, 福嶋, 1986)。

$$E_a = 0.1 \theta / 90^\circ \quad (12)$$

$$E_b = \begin{cases} 0.3 & Z_m \leq Z \\ 3.0 \times 10^{-12} Z^{1.0} (1 - Z_c/Z) & Z_c \leq Z < Z_m \\ 0.0 & Z \leq Z_c \end{cases} \quad (13)$$

底面濃度と平均濃度の比は、次のような関数で表す(Parker et al 1986)。

$$r_0 = C_b / C = 1 + 31.5 \mu^{-1.46} \quad (14)$$

ここで、Z = √R_aμ、μ = √αK/v_a、であり、R_a = √(RgD_a)D_a/v_aは粒子レイノルズ数、D_aは火碎物粒子の直径、v_aは動粘性係数、μは無次元摩擦速度である。式(7)で、Z_c=5、Z_m=13.2は、それぞれ、Zの臨界値と最大値である。

火碎流の形状は局所的な傾斜角θによって決まり流下方向に変化すると考え、Beghin et al.(1981)の解析と同様に与えた。すなわち、

$$A = \xi_a h^2 \quad P_b = \xi_b h \quad P_t = \xi_t h \quad (15)$$

ここで、ξ_a、ξ_b、ξ_tは形状係数である。これらの形状係数とポテンシャルエネルギーに関係する形状係数ξ_a、付加質量係数k_vは、斜面の角度θの関数であると考え次のように与える。

$$\xi_a = \frac{\pi}{4} \xi_b \quad \xi_t = \frac{\pi}{2\sqrt{2}} (4\xi_b^{-2} + 1) \xi_b$$

$$k_v = 2/\xi_b \quad \xi_p = 4/3\pi \quad (16a, b, c, d)$$

また形状係数ξ_bは Beghin el.al(1981)の傾斜サーマルの実験結果をもとにした次のような傾斜角の関数として表す(福嶋、1986)。

$$\xi_b = 8.47 \theta^{-1/3} \quad (17)$$

ここで、傾斜角の単位は度(°)である。

乱れエネルギーの式において導入された、粘性逸散率に関する係数βは、次のように表される。

$$\beta = \frac{1}{\xi_a} \left(\frac{\alpha}{c_D} \right)^{3/2} ((\xi_a + \xi_b) c_D + (1 - \frac{c_D}{\alpha}) \frac{1}{2} (1 + k_v) \xi_a E_a - \xi_a \cot \theta \frac{\xi_a E_a}{2\xi_a} \left(\frac{3}{4} (1 + k_v) \xi_a E_a + (\xi_a + \xi_b) c_D \right)) \quad (18)$$

ここで、係数c_Dはそれぞれの界面でのせん断応力がτ_a=τ_b=c_DU²のように表すことができると仮定して求めたものである。

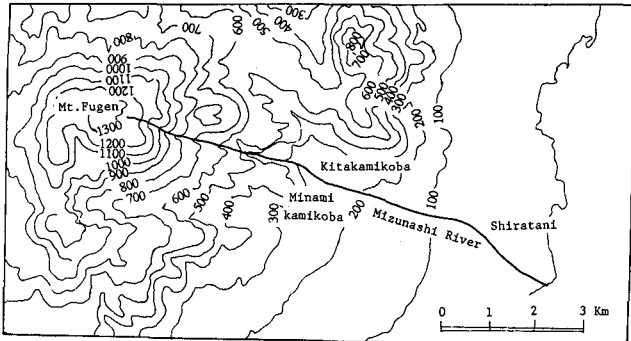


図2 雲仙・普賢岳の地形と火碎流の推定流路

3. 数値シミュレーションデータ

火碎物が球形であると仮定し、その直径を与え、空気中での沈降速度をオセーンの式から求めた。抵抗係数 c_D 、無次元係数 α の値は、それぞれ、 $c_D=0.02$ 、 $\alpha=0.1$ とした。これらの値は粉雪雪崩（福嶋、1987）及び泥水流（Parker et al., 1986）に適用されており妥当性が得られたものである。火碎流が流下方向に発達するか否かは初期条件で決まる（福嶋、1986、Parker et al., 1986）。火碎流の初期高さ、初期風速、初期濃度、初期温度は、それぞれ、 $H_0=100$ m, $U_0=50$ m/s, $C_0=5\%$, $T=1000^{\circ}\text{C}$ とした。火碎流の流下経路は地形図から読みとり、下流部分では水無川沿いにとった。これを図2のように示す。また、火碎物の直径は、 $D_s=0.01, 0.025, 0.05, 0.075, 0.1\text{mm}$ とした。これに対応する沈降速度は、 2.4cm/s から 270cm/s であった。今回の解析では火碎流が初めて生じた場合を想定した。このため、火碎流による底質の巻き上げを零とし、火碎流からの火碎物粒子の離脱、堆積を許した解析となっている。

4. 数値シミュレーション結果

図3から図8にここで提案した理論によるシミュレーション結果を示す。横軸には火碎流の流下経路に沿った水平距離を示している。これらの結果より、次のことがわかる。火碎物の直径が $D_s=0.075\text{ mm}$ の場合に着目すると、図5の速度、図6の体積濃度、図7の乱れのレベルはいずれも $S=3600$ m付近で急速に零に近づいている。この直径より大きい火碎物は、流れ出してこれより小さい距離で静止に至る。これよりも小さな直径の火碎物

で構成される火碎流は $S=5000$ mまでに到達してもなお流れるうことになる。図3から図8の結果から、もし、火碎流に含まれる火碎物の直径が $D_s=0.075\text{mm}$ よりも小さければ、火碎流が北上木場付近にまで到達することが示される。1991年6月3日に大規模な火碎流が北上木場付近で静止したことを考え合わせると、これらのシミュレーション結果はほぼ妥当な結果であることと推定される。

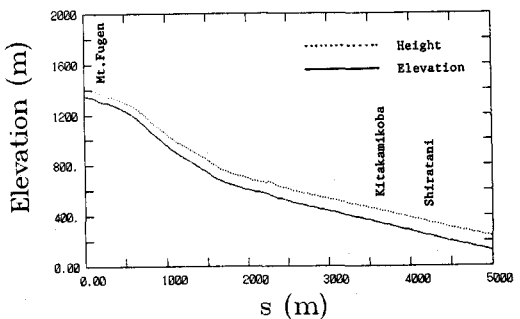


図3 雲仙普賢岳の地形と火碎流の高さ（初期高さ50 m、初期速度50/s、初期濃度5%、初期温度1000°Cの場合）。

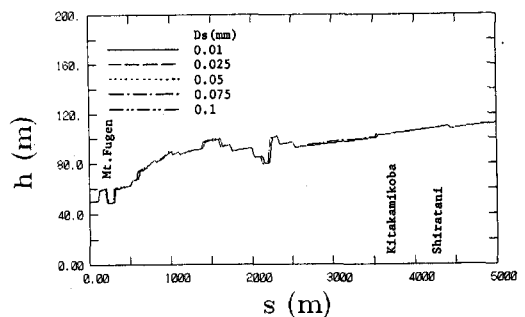


図4 高さの水平距離変化

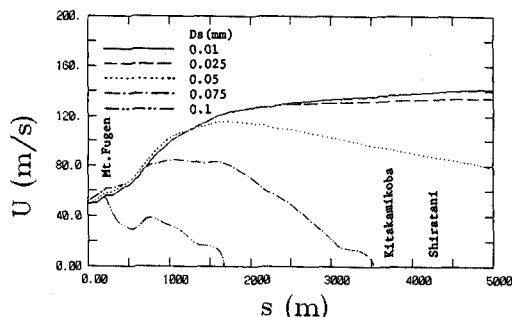


図5 速度の水平距離変化

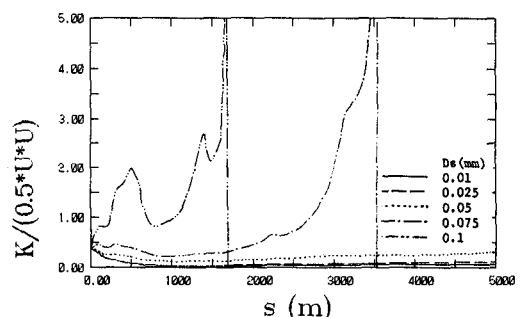


図7 亂れのレベルの水平距離変化

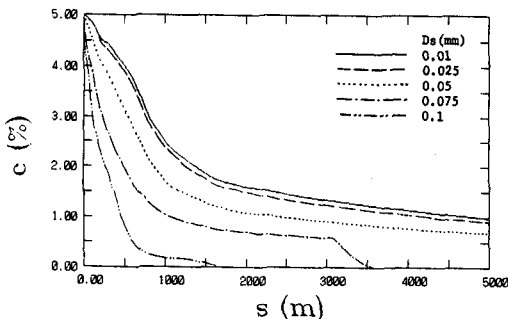


図6 火碎物濃度の水平距離変化

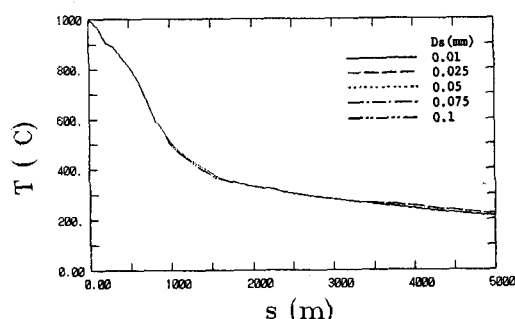


図8 火碎流中の温度の変化

図4の火碎流の高さは50m付近で始まるが流下距離の増加とともに発達し100m以上にまで達している。図5の火碎流の進行速度であるが50m/sの初期速度に対して、100m/sまで増加することがわかる。このような高速の進行速度を持つことが火碎流の特徴である。次に、図6の火碎流の濃度であるが5%から始まって急速にその濃度を減じているが、これは火碎流が多量の空気を行くためである。図8は火碎流中の温度を示したものであるが、図より火碎物の直径が変わっても温度の変化特性は余り変化せず、濃度と同様に減少する。

5. 結論

本論文では、流体力学的手法により火碎流の基礎方程式を導いた。さらに、空気の連行係数、火碎物粒子の連行係数などの構成関係式を用いて、数値解析する手法を示した。このモデルを雲仙・普賢岳に適用し、火碎物の粒径Dsを主なパラメータとして解析した結果、Dsが0.075mmの場合には1991年6月の火碎流の到達距離とほぼ等

しい結果を得た。数値シミュレーションの結果、粒径をかなり変化させても火碎流の高さ、温度の変化には大きく違いが見られないが、火碎流の速度、体積濃度、乱れのレベルは大きく変化することが示された。

参考文献

- 1) Beghin, P., Hopfinger, E.J. and Britter, R.E., Gravitational convection from instantaneous sources on inclined boundary, J. Fluid Mech., Vol.107, pp.407-422, 1981.
- 2) 福嶋祐介, 粉雪雪崩の流動機構の解析、雪氷、Vol.48-4, pp.189-194, 1986.
- 3) 福嶋祐介, 新潟県棚口地区表層雪崩の流動解析、雪氷、Vol.49-1, pp.1-8, 1987.
- 4) 高橋保、火碎流の発生と流動の機構、京都大学防災研究所年報、第28号B-2, pp.1-14, 1985.
- 5) Parker, G., Fukushima, Y. and Pantin, H. M., Self-accelerating turbidity currents, J. of Fluid Mech., Vol.171, pp. 145-181, 1986.